



Nuages de points et modélisation 3D

François GOULETTE

Jean-Emmanuel DESCHAUD

Tamy BOUBEKEUR

Contact : francois.goulette@mines-paristech.fr

Centre de Robotique
TECH-TRANS-SENS-PROB

Déroulement du cours

- 1/ Perception 3D ; capteurs et étalonnage (FG)
- 2/ Recalage et consolidation (FG)
- 3/ Description locale des courbes et surfaces (FG)
- 4/ Rendu de nuages de points et maillages (TB)
- 5/ Reconstruction de courbes et surfaces (JED)
- 6/ Modélisation et segmentation (FG)
- 7/ Apprent. profond et nuage de points 3D (JED)

- Séminaire de recherche

- Présentation des projets

2

Centre de Robotique
TECH-TRANS-SENS-PROB

Nuages de points et modélisation 3D

Vue d'ensemble du cours

Outils

- Géométrie différentielle
- Structuration (n-D tree, etc.)
- Descripteurs 3D
- Segmentation sans modèle

Captureurs & étalonnage

Recalage

Nuage de points

Rendu par points



Reconstruction de surfaces

Modélisation et segmentation

Modèle de surface 3D

Rendu polygonal

Visualisation Exploitation

Centre de Robotique
TECH-TRANS-SENS-PROB

Sommaire

- 1/ Introduction
- 2/ Principes de la numérisation de surface
- 3/ Précision et étalonnage
- 4/ Démonstrations de numérisation 3D

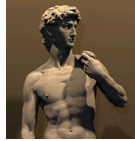
4

Centre de Robotique
TECH-TRANS-SENS-PROB


1.1 Usages de la perception 3D...

Conservation du patrimoine

Statues, objets d'art



David (Digital Michelangelo)



Vivid 700 (Minolta)

Bâtiments remarquables




Liège - Palais des Princes
GS 100 (MENS)


5

Centre de Robotique
TECH-TRANS-SENS-PROB

Génie civil, mines



Scanner laser (Faro Focus 3D)



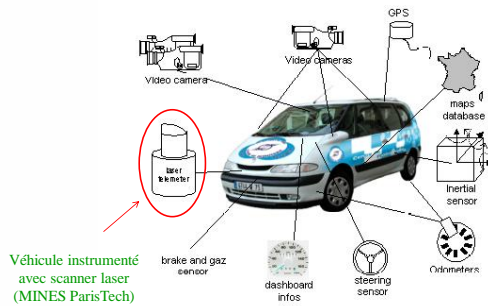
Jusqu'à x100 kpts/s !
Coût scanner faible ~30 k€

6

Centre de Robotique
TECH-TRANS-SENS-PROB

1

Aides à la conduite Véhicule autonome



9

Centre de Robotique
TECHNIQUES DE LA ROBOTIQUE

Interfaces interactives



MS Kinect

30 images RGB-D par seconde !
Coût Kinect faible ~100 €



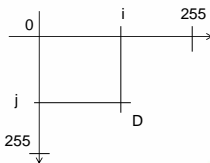
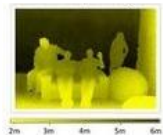
10

Centre de Robotique
TECHNIQUES DE LA ROBOTIQUE

1.2 Concepts

- Image de profondeur (définition) :
 - Ensemble tramé de distances à des surfaces d'une scène ou d'un objet
 - Valeurs : distance D (Depth / Depth Image)
 - Aussi : Intensité

Image de profondeur (D)



11

Centre de Robotique
TECHNIQUES DE LA ROBOTIQUE

Nuage de points

- Définition :
 - Ensemble non structuré de points 3D sur des surfaces d'une scène ou d'un objet
 - Valeurs : coordonnées spatiales (X Y Z)
 - Parfois mesures associées : intensité, couleur, etc.

Nuage de points



13

Centre de Robotique
TECHNIQUES DE LA ROBOTIQUE

Nuage de points colorisés



Points 3D avec intensité
(niveaux de gris, fausses couleurs)



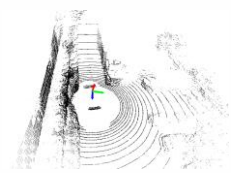
Points 3D colorisés

14

Centre de Robotique
TECHNIQUES DE LA ROBOTIQUE

De l'image de profondeur au nuage de points

- Nuage de points « simple »
 - Expression des coordonnées spatiales (X Y Z) des points d'une image de profondeur



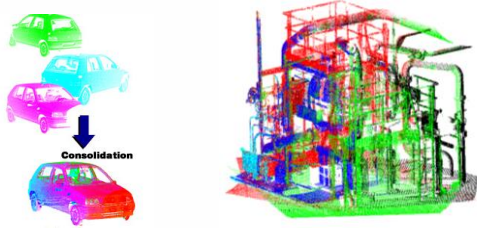
Velodyne 64 et nuage de points

15

Centre de Robotique
TECHNIQUES DE LA ROBOTIQUE

Nuage de points composé

- Plusieurs nuages de points simples
 - Acquis depuis différents lieux d'observation (stations)
- Mise en référentiel commun : **Recalage / consolidation**



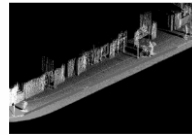
Nuages de points recalés
(couleurs : stations d'origine)

17

Centre de Robotique
TECHNIQUES DE RECHERCHE

Autres représentations...

- **Image d'élévation**
 - Passage d'un nuage de points à une image, selon une direction de projection et le calcul d'une valeur sur l'espace 2D discrétisé – e.g. : h_{\max} , h_{\min} , h_{mean} , Δh ...



Nuage de points d'une rue

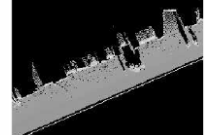


Image de profondeur calculée

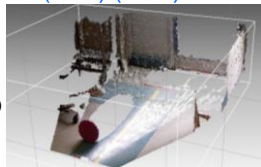
18

Centre de Robotique
TECHNIQUES DE RECHERCHE

Image RGB-D

- **Définition**
 - Ensemble tramé de distances et de couleurs d'une scène ou d'un objet
 - Combinaison d'une image de profondeur (P) (*Depth D*), et de couleur (RVB) (*RGB*)

Image de profondeur colorisée
- mesurée par Kinect -
(représentée comme nuage de points)



19

Centre de Robotique
TECHNIQUES DE RECHERCHE

Exemples de nuages de points

- **Différentes sortes**
 - Réels, synthétiques, avec ou sans couleur
 - Relevés statiques ou mobiles
- **Visualiseurs :**
 - **CloudCompare (OpenSource)**
 - **MeshLab (OpenSource)**
 - **RealWorks (commercial, version gratuite de visualisation simple)**

20

Centre de Robotique
TECHNIQUES DE RECHERCHE

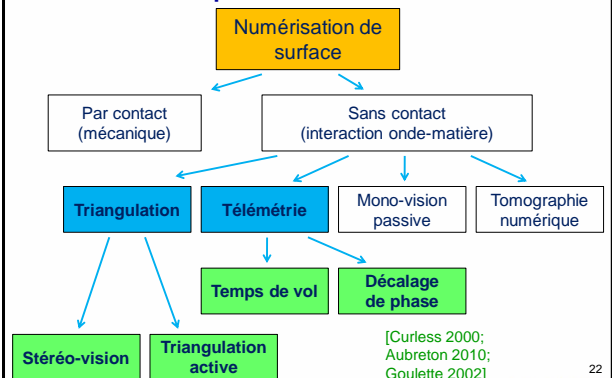
Sommaire

- 1/ Introduction
- 2/ Principes de la numérisation de surface
- 3/ Précision et étalonnage
- 4/ Démonstrations de numérisation 3D

21

Centre de Robotique
TECHNIQUES DE RECHERCHE

Principes et taxonomie

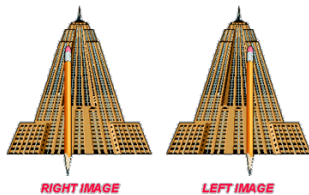


22

Centre de Robotique
TECHNIQUES DE RECHERCHE

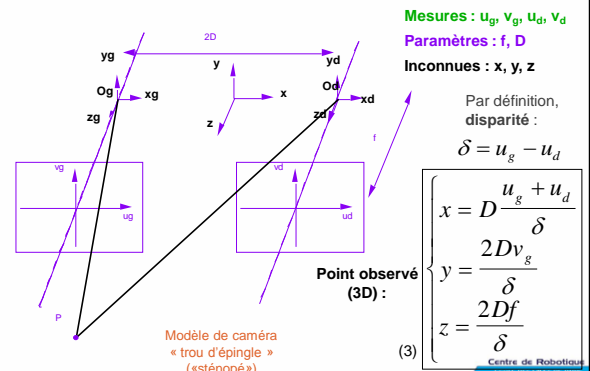
Stéréovision (triangulation passive)

- Vision d'une même scène de deux endroits légèrement décalés l'un par rapport à l'autre
- Principe de la perception du relief chez l'homme



Centre de Robotique
TECHNIQUES DE VISION

Stéréo-vision dans l'espace 3D



Centre de Robotique
TECHNIQUES DE VISION

Intérêts et limitations de la stéréovision

- Avantages :
 - Coordonnées 3D obtenues sans éclairage spécifique (technique de vision passive)
- Inconvénients / limitations :
 - Difficulté de l'appariement des points
 - Méthodes d'appariement automatisé
 - Points caractéristiques : SIFT, SURF
 - Appariement dense

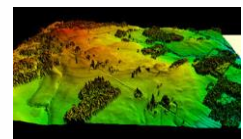
Centre de Robotique
TECHNIQUES DE VISION

Photogrammétrie

- Métrologie 3D basée sur la stéréo-vision
 - Historiquement : appariement manuel des points dans les images
 - éléments caractéristiques des images : ruptures de contraste, arêtes saillantes, etc.



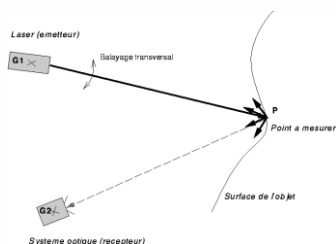
Appareil de restitution photogrammétrique analytique Leica SD 2000, années 1990.



Modèle numérique de surface (MNS)

Centre de Robotique
TECHNIQUES DE VISION

Triangulation laser (active)

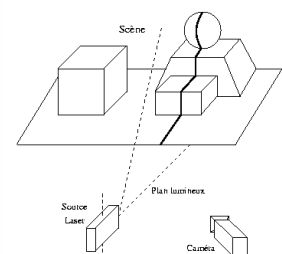


- Un rayon laser est envoyé vers l'objet à mesurer
- La lumière diffusée est observée par une caméra
→ on détermine la profondeur du point

Centre de Robotique
TECHNIQUES DE VISION

Triangulation laser ligne, profilométrie

- Une image saisie donne une ligne de points
- Un unique balayage suffit pour assurer la couverture de la surface
→ rapidité



Centre de Robotique
TECHNIQUES DE VISION

Exemple de profilomètre

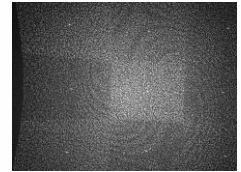


Whole Body Scanner (Cyberware)

Projection de motifs aléatoires - modèle de la Kinect -



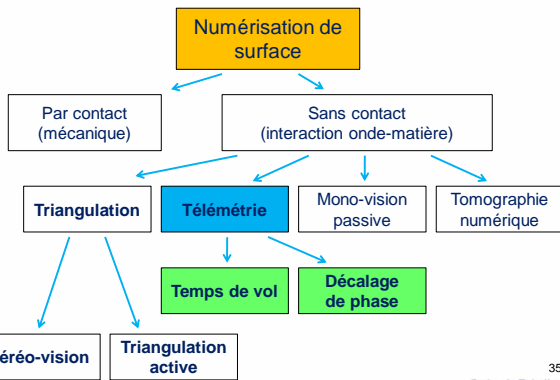
Kinect - sans capot



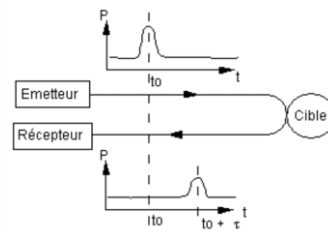
Motif projeté

Pour chaque pixel (i,j) de l'image (capteur IR), on calcule la disparité $\delta_{i,j}$ du point de la scène observé par rapport à l'image d'origine.

Télémétrie



Télémétrie par temps de vol



Types d'impulsion :

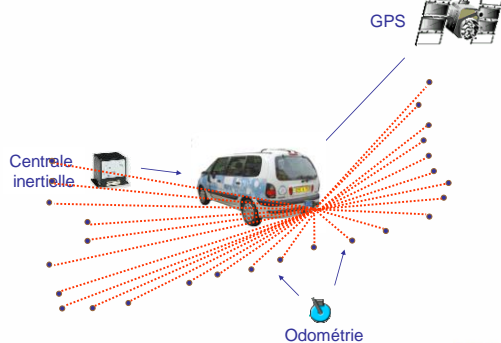
- lumineuse (laser)
- ultrasonore (SONAR)
- ondes radio (RADAR)

$$d = \frac{1}{2} v \tau$$

Avec : v : vitesse de l'onde

Rappel : lumière dans le vide :
 $v = c = 3 \times 10^8$ m/s

Relevés laser mobiles scanner en mouvement

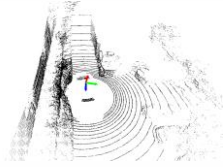


Construction du nuage de points Scène urbaine



Le nuage de points est géo-référencé

Plusieurs scanners à balayage simple simultanés

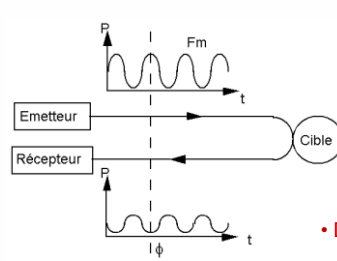


Velodyne 64 et nuage de points :
→ 64 scanners laser
→ Avantage : rapidité (1 M pts/s)

41

Centre de Robotique
TECHNIQUES DE MESURE

Modulation en amplitude (décalage de phase)



$$\tau = \frac{1}{F_m} \left(N + \frac{\phi}{2\pi} \right)$$

$$d = \frac{1}{2} v \tau$$

$$= \frac{v}{2 F_m} \left(N + \frac{\phi}{2\pi} \right)$$

- Distance d'ambiguïté
→ plusieurs fréquences
- Précision meilleure
que par impulsion

[Grussenmeyer 2011]

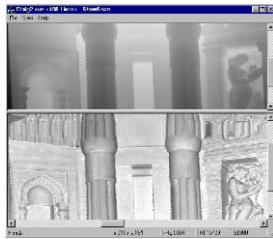
Centre de Robotique
TECHNIQUES DE MESURE

Quelques capteurs à différence de phase

LARA (Zoller+Fröhlich)

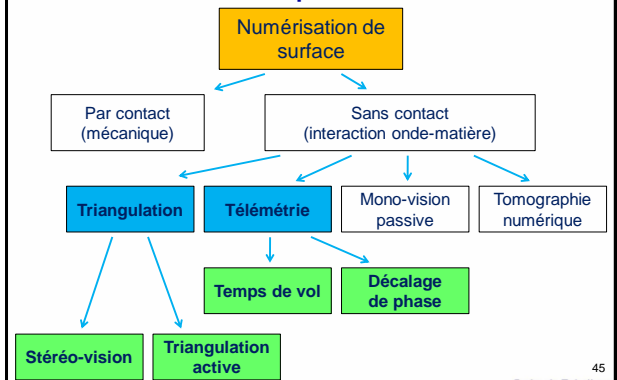


Faro Focus 3D



Centre de Robotique
TECHNIQUES DE MESURE

Récapitulatif



45

Centre de Robotique
TECHNIQUES DE MESURE

Sommaire

- 1/ Introduction
- 2/ Principes de la numérisation de surface
- 3/ Précision et étalonnage
- 4/ Démonstrations de numérisation 3D

46

Centre de Robotique
TECHNIQUES DE MESURE

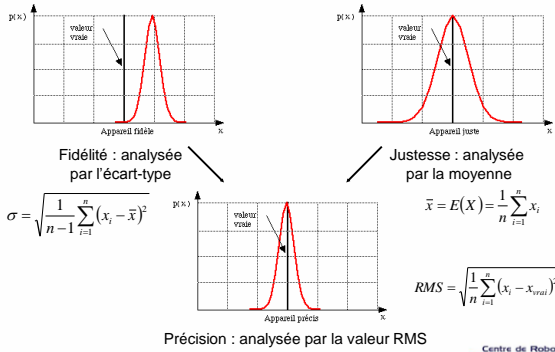
3/ Précision et étalonnage

- Les points 3D sont des mesures géométriques
 - Obtenues par des principes physiques (contact, lumière, etc.) et mécaniques
- Les erreurs systématiques de mesure peuvent être améliorées
 - Par calibrage / étalonnage

47

Centre de Robotique
TECHNIQUES DE MESURE

Précision des mesures



48

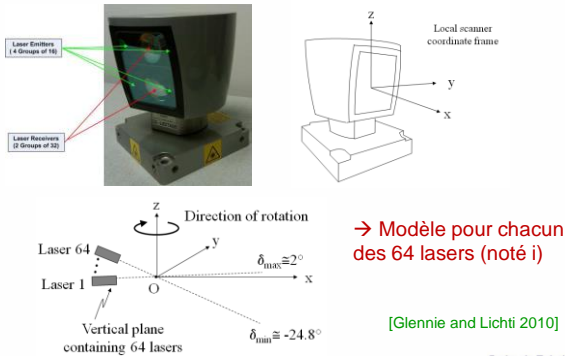
Principes de l'étalonnage

- Modèle g du capteur (optique, géométrie)
 - Permet de passer des données brutes capteur B_i aux points 3D X_i
 - Exemple de données brutes : distance, angle de scanning
- Plusieurs paramètres q :
 - intrinsèques q_{int} ; extrinsèques q_{ext} (position et orientation) du capteur.

$$X_i = g(B_i, q) \quad (1)$$

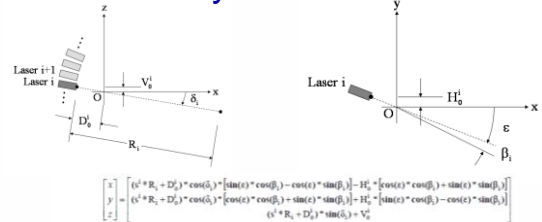
49

Modélisation d'un Velodyne 64



50

Velodyne 64 – laser i



where:

s^i is the distance scale factor for laser i;

D_s^i is the distance offset for laser i;

δ_i is the vertical rotation correction for laser i;

β_i is the horizontal rotation correction for laser i;

H_o^i is the horizontal offset from scanner frame origin for laser i;

V_o^i is the vertical offset from scanner frame origin for laser i;

R_i is the raw distance measurement from laser i;

ϵ is the encoder angle measurement.

Paramètres

Mesures

51

Méthode d'étalonnage

- Procédure de détermination précise des paramètres (q_{int} , q_{ext}) d'un capteur
- Basée sur
 - Mesures expérimentales, jeu de données brutes B_i et de points calculés X_i
 - Une référence R (points 3D, modèle) et une métrique (distance euclidienne...)
 - Donne une erreur estimée ϵ_i pour chaque point

$$\epsilon_i = d(X_i, R)$$

52

Solution

- Résolution par Moindres Carrés
 - Hypothèses sur les bruits de mesure et la métrique utilisée : (loi normale, etc.)
- Fonction d'erreur à minimiser sur l'espace des paramètres :

$$f(q) = \sum_{i=1}^n \epsilon_i^2 \quad (2)$$

$$f(q) = \sum_{i=1}^n d(g(B_i, q), R)^2 \quad (3)$$

53

Exemple : étalonnage d'un système laser-caméra

- Objectif :
 - Trouver la transformation rigide entre un scanner à balayage simple et une caméra



Caméra AVT Marlin
et scanner IBEO LD.



Appareil photo Canon EOS 5D
et scanner SICK LMS 221

54

Centre de Robotique
TECHNIQUES DE RECHERCHE

Utilisation : colorisation de nuages de points



Rue Soufflot à Paris, nuage de points acquis par LARA-3D
[Deschaud 2010]

59

Centre de Robotique
TECHNIQUES DE RECHERCHE

Sommaire

- 1/ Introduction
- 2/ Principes de la numérisation de surface
- 3/ Précision et étalonnage
- 4/ Démonstrations de numérisation 3D

60

Centre de Robotique
TECHNIQUES DE RECHERCHE

4/ Démonstrations de numérisation 3D

- 4.1 Acquisition 3D temps réel – Kinect
- 4.2 Relevé laser & images - Faro Focus

61

Centre de Robotique
TECHNIQUES DE RECHERCHE

Références

- T. Landes and P. Grussenmeyer, « Les principes fondamentaux de la lasergrammétrie terrestre », Revue XYZ, 2011
- Numerical Recipes in C
- Besl and McKay, 1992, ICP

62

Centre de Robotique
TECHNIQUES DE RECHERCHE

Références

- Curless 2000
- Aubreton 2010
- Goulette 2002
- Khalil 96
- Hartley and A. Zisserman 2000
- http://wiki.ros.org/kinect_calibration/technical
- Grussenmeyer 2011
- Glennie and Lichti 2010
- Abuhadrous 2005
- Pless and Zhang 2004, Extrinsic Calibration of a Camera and Laser Range Finder (improves camera calibration), IROS 2004.
- Bouguet 2003
- Zhang 99
- Deschaud 2010

63

Centre de Robotique
TECHNIQUES DE RECHERCHE

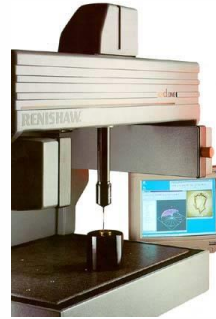
Annexes

- Autres principes de numérisation 3D
- Equations d'étalonnage de [Pless and Zhang 2004]

64

Centre de Robotique
TECHNIQUES DE MESURE

Numérisation par contact - exemples



Machine à Mesurer Tridimensionnelle (MMT)
Cyclone (Renishaw)



Bras articulé
MicroScribe-3D

Centre de Robotique
TECHNIQUES DE MESURE

Modèle complet

- Modèle complet de caméra dans l'espace

$$p \sim K \times (RP + T)$$

K : « matrice fondamentale » [Hartley and A. Zisserman 2000]
R, T : rotation, translation

- Modèle de stéréo-vision étendu
 - Géométrie quelconque
 - Plus de 2 caméras → solution par moindres carrés (sur-contraint)

66

Centre de Robotique
TECHNIQUES DE MESURE

Mono-vision passive

- Principe :
 - Utilisation de simples images 2D pour obtenir des informations 3D
- Variantes :
 - Shape-from-X (silhouette, shading, focus, texture, motion), etc.

Centre de Robotique
TECHNIQUES DE MESURE

Contours, shape-from-silhouette

- Un objet est posé sur un socle tournant
- Une caméra prend plusieurs prises de vue de l'objet, après différentes rotations



3Scan (Geometrix)

Centre de Robotique
TECHNIQUES DE MESURE

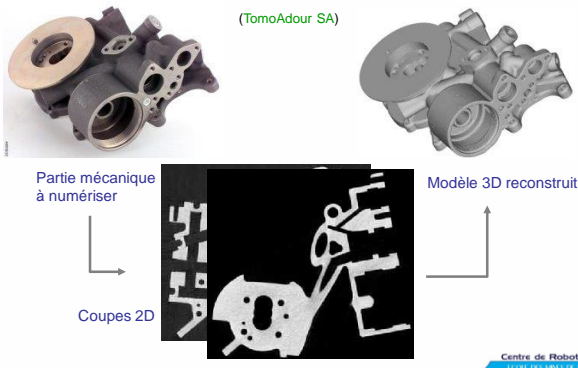
- De chaque vue est extraite la silhouette de l'objet
- L'espace est « sculpté » pour obtenir le volume 3D



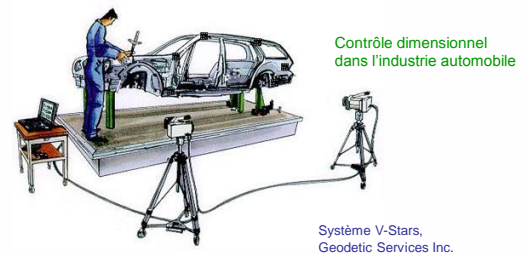
Mise en œuvre à l'Ecole des Mines de Paris

Centre de Robotique
TECHNIQUES DE MESURE

Tomographie numérique (rayons X)

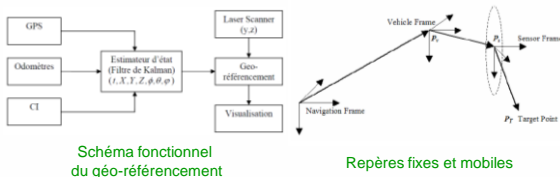


Combinaison de palpé et photogrammètrie



La photogrammètrie permet de déterminer la pose du palpeur
Avantage : plus de liberté de mouvement pour l'opérateur

Géo-référencement des mesures laser



Mesures laser dans le repère « Monde » :

$$P_T^{Nav} = \mathcal{R}_{Veh}^{Nav} \mathcal{R}_{Scanner}^{Veh} \cdot P_T^{Scanner} + \mathcal{R}_{Veh}^{Nav} \cdot P_s^{Veh} + P_v^{Nav}$$

[Abuhadrous 2005]

72

Equations – caméra (1)

[Pless and Zhang 2004]

Equations caméra – modèle projectif

- En utilisant le modèle projectif d'un point P de l'espace dans l'image caméra (p), et en notant (R, T) la rotation / translation du repère « monde » au repère caméra :

$$p \sim K \times (RP + T) \quad (1)$$

K : « matrice fondamentale » [Hartley and A. Zisserman 2000]

Hypothèse : On suppose que les paramètres intrinsèques de la caméra ont déjà été calibrés (méthode classique) [Bouguet 2003]

73

Equations – caméra (2)

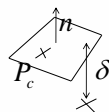
Dans le référentiel caméra

- On représente un plan Π par sa normale normée n , et la distance δ du centre du repère au plan

$$n^t P_c = \delta$$

- La distance signée d'un point à cette surface vaut :

$$d(P_c, \Pi) = n^t P_c - \delta \quad (2)$$



74

Equations – caméra (3)

Equation du plan d'étalonnage

- En considérant (sans perte de généralité) que la mire est un plan $Z=0$ dans le repère « monde », qui suit l'équation (2) ;
- L'équation (1) du modèle projectif s'applique.
- En notant R_3 le vecteur de la 3^e colonne de la matrice R , on obtient :

A chercher ! $\rightarrow d \times n = -R_3 \times (R_3^t \times T) \quad (3)$

- D'où on extrait d et n .

• Identification par observation caméra du motif [Zhang 99]

75

Equations – laser (1)

- La distance d'un point laser, exprimé dans le référentiel caméra, à la mire plane, vérifie l'équation (2) :

$$d(P_c, \Pi) = n^t P_c - \delta$$

- Le passage du repère laser au repère caméra s'écrit :

$$P_l = \Phi P_c + \Delta \quad (4)$$

76

Centre de Robotique
TUM - INSTITUT FÜR ROBOTIK

Equations – laser (2)

- La combinaison de (2) et (4) amène à :

$$d(P_l, \Pi) = n^t \Phi^{-1} (P_l - \Delta) - \delta \quad (5)$$

- On cherche Φ et Δ (6 ddl) qui annulent cette distance pour
 - toutes les m positions de la mire, plans Π_i représentés par (n_i, δ_i)
 - tous les q_i points laser $P_{i,j}$ présents sur un même plan Π_i

77

Centre de Robotique
TUM - INSTITUT FÜR ROBOTIK

Fonction d'erreur (Moindres Carrés)

- On établit la fonction d'erreur :

$$f : \begin{cases} SE^3 \rightarrow \mathbb{R}^+ \\ (\Phi, \Delta) \mapsto f(\Phi, \Delta) \end{cases}$$

$$f(\Phi, \Delta) = \sum_{i=1}^m \sum_{j=1}^{q_m} (n_i^t \Phi^{-1} (P_{i,j} - \Delta) - \delta_i)^2 \quad (5)$$

78

Centre de Robotique
TUM - INSTITUT FÜR ROBOTIK

Résolution (1)

- Il n'existe pas de solution analytique connue dans SE^3 .
- Solution itérative proposée par [Pless and Zhang 2004] :

1/ Résolution linéaire

- donnant une valeur approchée de Φ et Δ ; dans cette solution Φ_1 n'est pas nécessairement une matrice de rotation

79

Centre de Robotique
TUM - INSTITUT FÜR ROBOTIK

Résolution (2)

2/ A partir de Φ_1 détermination d'une matrice de rotation approchée Φ_2 :

- Minimisation de la norme de Frobenius de $(\Phi_2 - \Phi_1)$ sous la contrainte $\Phi_2^T \Phi_2 = I$

3/ Résolution numérique itérative

- La rotation Φ est représentée par la formule de Rodrigue (axe et angle : 3 paramètres)
- Optimisation de type Levenberg-Marquardt
 - Φ_2 et Δ servent de valeur d'initialisation

80

Centre de Robotique
TUM - INSTITUT FÜR ROBOTIK